

ВЛИЯНИЕ ПЕРЕЗАРЯДКИ НА ЭНЕРГЕТИЧЕСКОЕ РАСПРЕДЕЛЕНИЕ БЫСТРЫХ МНОГОЗАРЯДНЫХ ИОНОВ ПРИ ПРОХОЖДЕНИИ ЧЕРЕЗ ВЕЩЕСТВО

В. В. Балашов, А. В. Бибиков, И. В. Бодренко

*Институт ядерной физики им. Д. В. Скобельцына
Московского государственного университета им. М. В. Ломоносова
119899, Москва, Россия*

Поступила в редакцию 30 августа 1996 г.,
после переработки 31 декабря 1996 г.

В диффузионном приближении сформулирован метод расчета энергетических распределений многозарядных ионов при прохождении через вещество для произвольного числа их зарядовых состояний. Приведены примеры численного решения предложенной системы кинетических уравнений с учетом перезарядки. В частном случае двух зарядовых состояний найдено компактное решение задачи в специальных функциях. Проведено сравнение с экспериментом.

1. ВВЕДЕНИЕ

Особенности прохождения многозарядных ионов через вещество, связанные с захватом и потерей ими электронов, являются предметом интенсивных исследований. Процессы перезарядки создают сложный режим торможения иона в веществе, строгое теоретическое описание которого не получено до сих пор. Энергетическое распределение заряженных частиц при их прохождении через вещество в условиях сильной перезарядки может качественно отличаться от гауссова, однако вопрос о том, как в общем случае (т. е. до установления равновесия между различными зарядовыми состояниями иона) многократность его переходов из одних состояний в другие влияет на форму его энергетического распределения, остается открытым. С другой стороны, в большинстве случаев, представляющих практический интерес, отсутствует достаточная информация о характеристиках самих элементарных процессов перезарядки. В связи с этим все больше внимания привлекает вопрос о возможностях использовать экспериментальные данные об энергетических распределениях ионов при прохождении через вещество для решения обратной задачи о сечениях элементарных процессов захвата и потери ионом электрона.

Недавно Зигмунд и Нейрманн [1–3] внесли важный вклад в теорию торможения, получив конкретные аналитические выражения для последовательности моментов энергетического распределения ионов, прошедших, испытывая перезарядку, через заданный слой вещества. К сожалению, в общем случае, когда надо учесть более двух различных зарядовых состояний иона, такой подход оказывается слишком громоздким для исследования самой формы энергетического распределения. В данной работе, отталкиваясь от основных положений флуктуационной теории ионизационного торможения, сформулированных в свое время Ландау [4], мы исследуем другой путь решения той же задачи, на котором оказывается возможным провести в удобной форме, не прибегая к

методу Монте-Карло, систематические вычисления для спектров потерь ионов с учетом разброса энергий (стрегглинга) при произвольном числе включаемых в рассмотрение зарядовых состояний. Что касается важного частного случая двух зарядовых состояний, то здесь мы получаем для спектра потерь компактное аналитическое выражение.

2. СЛУЧАЙ ДВУХ ЗАРЯДОВЫХ СОСТОЯНИЙ; ПЛОТНОСТЬ РАСПРЕДЕЛЕНИЯ ПУТЕЙ, ПРОЙДЕННЫХ В КАЖДОМ ИЗ СОСТОЯНИЙ

Пусть ион с энергией E_0 попадает в образец, находясь в зарядовом состоянии $\langle 1 \rangle$, затем по мере продвижения в этом образце переходит в состояние $\langle 2 \rangle$, затем обратно в начальное состояние $\langle 1 \rangle$ и т. д., многократно меняя свое зарядовое состояние. Пусть S_1 и S_2 — эффективные торможения иона соответственно в состояниях $\langle 1 \rangle$ и $\langle 2 \rangle$. Аналогичным образом введем параметры стрегглинга в этих двух состояниях: Ω_1^2 и Ω_2^2 . Тогда применительно к случаю тонкого слоя вещества, т. е. без учета изменений параметров S_1 , S_2 и Ω_1^2 , Ω_2^2 по мере торможения иона, а также потерь энергии ионом непосредственно в каждом акте перезарядки, получаем, что средняя энергия иона E , прошедшего слой вещества толщиной x таким образом, что на зарядовое состояние $\langle 1 \rangle$ приходится в итоге определенная часть пути x_1 , а на состояние $\langle 2 \rangle$ — другая часть пути $x_2 = x - x_1$, равна

$$E = E_0 - S_1 x_1 - S_2 x_2. \quad (1)$$

Пусть ион, войдя в образец в состоянии $\langle 1 \rangle$, обнаружен в точке x в том же состоянии $\langle 1 \rangle$. Обозначим через $P_1(x, x_1)$ плотность вероятности того, что наш ион, пройдя путь x , провел часть x_1 этого пути в состоянии $\langle 1 \rangle$ (и, соответственно, другую часть пути $x_2 = x - x_1$ — в состоянии $\langle 2 \rangle$). Аналогичным образом введем также плотность вероятности $P_2(x, x_1)$ для иона, который вошел в образец в состоянии $\langle 1 \rangle$ и обнаружен в точке x в зарядовом состоянии $\langle 2 \rangle$. Будем называть их плотностями распределения путей, пройденных ионом в заданном зарядовом состоянии.

Пусть $f_1(x, E)$ и $f_2(x, E)$ — функции энергетического распределения ионов, обнаруженных в своем начальном зарядовом состоянии $\langle 1 \rangle$ или в состоянии $\langle 2 \rangle$ на расстоянии x от входа в образец (здесь и далее будем обозначать малой буквой f функцию распределения, рассчитанную без учета ионизационного стрегглинга; в общем случае будем пользоваться обозначением $F_k(x, E)$). Соотношение (1) однозначно связывает потери энергии иона на торможение, а точнее, его среднюю (с точностью до стрегглинга) энергию E в точке x , с тем, как в каждом отдельном случае разделится полный путь иона x на части x_1 и $x_2 = x - x_1$, пройденные им в состояниях $\langle 1 \rangle$ и $\langle 2 \rangle$. С его помощью находим связь между плотностью распределения путей и энергетическим спектром ионов в каждом из зарядовых состояний:

$$f_k(x, E)dE = P_k(x, x_1)dx_1 \Big|_{x_1=(E_0-E-S_2x)/(S_1-S_2)}. \quad (2)$$

Распределения $P_k(x, x_1)$ и $f_k(x, E)$ связаны интегральными соотношениями с вероятностями найти ион в состояниях $\langle 1 \rangle$ и $\langle 2 \rangle$ на расстоянии x от входа в образец:

$$p_k(x) = \int_0^x P_k(x, x_1)dx_1 = \int f_k(x, E)dE. \quad (3)$$

Будем нормировать введенные выше характеристики согласно условию сохранения числа частиц:

$$p_1(x) + p_2(x) = 1. \tag{4}$$

Введем теперь в рассмотрение понятие плотности распределения путей $P_{1(2)}^{(N)}(x, x_1)$ для ионов, испытавших заданное число N актов перезарядки. Войдя в образец в состоянии $\langle 1 \rangle$ и испытав четное число актов перезарядки, ион оказывается снова в состоянии $\langle 1 \rangle$; после нечетного числа таких переходов он оказывается в состоянии $\langle 2 \rangle$. Начнем с плотности распределения путей для иона, испытавшего нуль, один и два перехода:

$$P_1^{(0)}(x, x_1) = e^{-\lambda_{12}x_1} \delta(x_2), \tag{5}$$

$$P_2^{(1)}(x, x_1) = e^{-\lambda_{12}x_1} \lambda_{12} e^{-\lambda_{21}x_2}, \tag{6}$$

$$P_1^{(2)}(x, x_1) = e^{-\lambda_{12}x_1 - \lambda_{21}x_2} \lambda_{12} \lambda_{21} x_1, \tag{7}$$

где λ_{12} и λ_{21} — скорости переходов из состояния $\langle 1 \rangle$ в состояние $\langle 2 \rangle$ и из состояния $\langle 2 \rangle$ в состояние $\langle 1 \rangle$. Далее находим выражения $P_1^{(N=2n)}(x, x_1)$ и $P_2^{(N=2n+1)}(x, x_1)$ при любом n методом индукции:

$$P_1^{(2n)}(x, x_1) = e^{-\lambda_{12}x_1 - \lambda_{21}x_2} \lambda_{12}^n \lambda_{21}^n \frac{x_1^n}{n!} \frac{x_2^{(n-1)}}{(n-1)!}, \tag{8}$$

$$P_2^{(2n+1)}(x, x_1) = e^{-\lambda_{12}x_1 - \lambda_{21}x_2} \lambda_{12}^{(n+1)} \lambda_{21}^n \frac{x_1^n}{n!} \frac{x_2^n}{n!}, \tag{9}$$

и, суммируя ряды, получаем

$$\begin{aligned} P_1(x, x_1) &= \sum_{n=0}^{\infty} P_1^{(2n)}(x, x_1) = \\ &= e^{-\lambda_{12}x_1 - \lambda_{21}x_2} \left[\delta(x_2) + \sum_{n=1}^{\infty} \lambda_{12}^n \lambda_{21}^n \frac{x_1^n}{n!} \frac{x_2^{(n-1)}}{(n-1)!} \right] = \\ &= e^{-\lambda_{12}x_1 - \lambda_{21}x_2} \left[\delta(x_2) + \sqrt{\frac{\lambda_{12} \lambda_{21} x_1}{x_2}} I_1 \left(2\sqrt{\lambda_{12} \lambda_{21} x_1 x_2} \right) \right], \end{aligned} \tag{10}$$

$$P_2(x, x_1) = \sum_{n=0}^{\infty} P_2^{(2n+1)}(x, x_1) = e^{-\lambda_{12}x_1 - \lambda_{21}x_2} \lambda_{12} I_0 \left(2\sqrt{\lambda_{12} \lambda_{21} x_1 x_2} \right). \tag{11}$$

Здесь $I_0(x)$ и $I_1(x)$ — функции Инфельда (функции Бесселя для мнимого аргумента); мы воспользовались их представлением в виде рядов [5]:

$$I_0(x) = \sum_{k=0}^{\infty} \frac{1}{k!k!} \left(\frac{x}{2} \right)^{2k}, \tag{12}$$

$$I_1(x) = \sum_{k=0}^{\infty} \frac{1}{k!(k+1)!} \left(\frac{x}{2}\right)^{2k+1}. \quad (13)$$

Используя известные соотношения для функций Инфельда, нетрудно показать, что решения (10), (11), подставленные в (3), удовлетворяют условию нормировки (4).

Формулы (10), (11) дают общее представление о форме энергетического распределения ионов и ее изменении по мере их прохождения через вещество. Так, согласно (10), распределение $P_1(x, x_1)$ как функция x_1 представляет собой сингулярный пик при $x_1 = x$, соответствующий доли потока ионов, не испытавших перезарядки (его вклад по мере продвижения иона в глубь образца убывает экспоненциально как $e^{-\lambda_{12}x}$), и широкий максимум, связанный с процессами перезарядки. Общая форма энергетического распределения ионов $f_1(x, E)$ такова же. При $S_1 < S_2$ (что соответствует случаю, когда $\langle 2 \rangle$ — это состояние более высокой зарядности, чем $\langle 1 \rangle$) мы имеем в спектре прошедших ионов узкий пик в его крайней правой части, который соответствует доли ионов, прошедших без перезарядки, и широкий максимум в области меньших энергий (больших энергетических потерь). При $S_1 > S_2$ взаимное расположение узкого пика и широкого максимума обратное.

3. ОБЩИЙ СЛУЧАЙ ПРОИЗВОЛЬНОГО ЧИСЛА ЗАРЯДОВЫХ СОСТОЯНИЙ; КИНЕТИЧЕСКОЕ УРАВНЕНИЕ ТОРМОЖЕНИЯ С УЧЕТОМ ПЕРЕЗАРЯДКИ

Будем исходить из основных положений теории торможения частицы, зарядовое состояние которой остается в процессе прохождения через вещество определенным [4]. В условиях, когда средняя потеря энергии частицы $\langle \Delta \rangle = S(E)x$ на рассматриваемом участке пути x много меньше энергии самой частицы E , а с другой стороны, $\langle \Delta \rangle$ много больше возможной передачи энергии T_{max} от частицы окружающей среде в одном столкновении («диффузионное приближение»), распределение потерь энергии частицы является гауссовым:

$$F(\Delta, x | E) = \frac{\exp[-(\Delta - S(E)x)^2/2\Omega^2(E)x]}{\sqrt{2\pi\Omega^2(E)x}}, \quad (14)$$

где Ω^2 — параметр стрегглинга для частицы с заданной энергией E :

$$\langle (\Delta - \langle \Delta \rangle)^2 \rangle = \Omega^2(E)x. \quad (15)$$

В тех же условиях движение частицы, способной переходить в процессе торможения из одного зарядового состояния в другое, описывается системой кинетических уравнений:

$$F_k(x, E) = e^{-\lambda_k x} \int g_k(x, E' - E) F_k(x=0, E') dE' + \\ + \sum_{l \neq k} \lambda_{lk} \int_0^x dx' \int e^{-\lambda_k(x-x')} g_k(x-x', E' - \Delta_{lk} - E) F_l(x', E') dE', \quad (16) \\ k = 1, 2, \dots, N,$$

где, согласно (14),

$$g_k(x - x', E' - E) = \frac{\exp \left\{ - [E' - E - S_k(x - x')]^2 / 2\Omega_k^2(x - x') \right\}}{\sqrt{2\pi\Omega_k^2(x - x')}}}, \quad (17)$$

при этом S_k, Ω_k^2 — тормозные способности и параметры стретглинга в состоянии k ; $\lambda_k = \sum_l \lambda_{kl}$ — полная скорость перехода иона из зарядового состояния k в другие состояния, а λ_{kl} — парциальные скорости переходов из состояния k в различные состояния l ; Δ_{lk} — средняя потеря энергии в акте перезарядки из состояния l в состояние k ; функция $F_k(x = 0, E')$ соответствует начальному условию процесса прохождения; если пучок ионов входит в образец в определенном зарядовом состоянии $\langle 1 \rangle$ с определенной энергией E_0 , имеем

$$F_k(x = 0, E') = \delta_{k1} \delta(E' - E_0). \quad (18)$$

4. УЧЕТ СТРЕТГЛИНГА В ЗАДАЧЕ О ДВУХ ЗАРЯДОВЫХ СОСТОЯНИЯХ

Конкретная форма энергетического спектра ионов, даваемая выражениями (10), (11), может быть получена как частный случай общего решения системы уравнений (16)–(18) при выполнении условий, сформулированных в разд. 2. Использование аналитических выражений (10), (11) очень удобно для проведения расчетов и моделирования различных ситуаций в рамках задачи о двух зарядовых состояниях, однако, в отличие от общего решения, в этом случае не учитывается ионизационный стретглинг, и разброс энергии иона при прохождении через образец возникает исключительно благодаря эффекту перезарядки. Хотя количественные расчеты с помощью уравнений (16)–(18) показывают, что во многих практически интересных случаях именно перезарядка, а не ионизационный стретглинг определяют форму спектра иона на выходе из образца, представляет интерес обобщить результаты разд. 2 с учетом стретглинга.

В диффузионном приближении при гауссовом разбросе энергий иона в каждом из его зарядовых состояний итоговый разброс энергий иона, прошедшего слой вещества толщиной x таким образом, что на зарядовое состояние $\langle 1 \rangle$ приходится в итоге определенная часть пути x_1 , а на состояние $\langle 2 \rangle$ — другая часть пути $x_2 = x - x_1$, характеризуется дисперсией

$$D(x, E) = \langle (\Delta E)^2 \rangle = \Omega_1^2 x_1 + \Omega_2^2 x_2; \quad (19)$$

при этом средняя энергия иона E определяется однозначно по формуле (1).

При таком подходе обобщение полученного в разд. 2 результата на случай с учетом стретглинга достигается с помощью простой свертки:

$$f_1(x, E) \rightarrow F_1(x, E) = \int g(x, E - E') f_1(x, E') dE', \quad (20)$$

где

$$g(x, E - E') = \frac{\exp [-(E - E')^2 / 2D(x, E)]}{\sqrt{2\pi D(x, E)}}. \quad (21)$$

5. МОДЕЛИРОВАНИЕ ПРОЦЕССА ТОРМОЖЕНИЯ

Следуя Нейману [3], будем пользоваться следующими параметрами моделирования: E_0 и E — начальная энергия и энергия иона после прохождения слоя толщиной x ; n_c — плотность числа частиц вещества; σ_{kl} — эффективное сечение перехода из состояния k в состояние l , связанное со скоростью парциального перехода λ_{kl} соотношением

$$\lambda_{kl} = \sigma_{kl} n_c, \quad (22)$$

S_k — эффективное торможение иона в состоянии k ; W_k — параметр ионизационного стрегглинга в состоянии k , связанный с введенным выше параметром стрегглинга Ω_k^2 соотношением

$$\Omega_k^2 = W_k n_c. \quad (23)$$

Все параметры приводятся в атомных единицах. Во всех примерах полагается, что пучок ионов входит в образец в зарядовом состоянии (1) с определенной энергией E_0 . При рассмотрении трех и более зарядовых состояний решается система кинетических

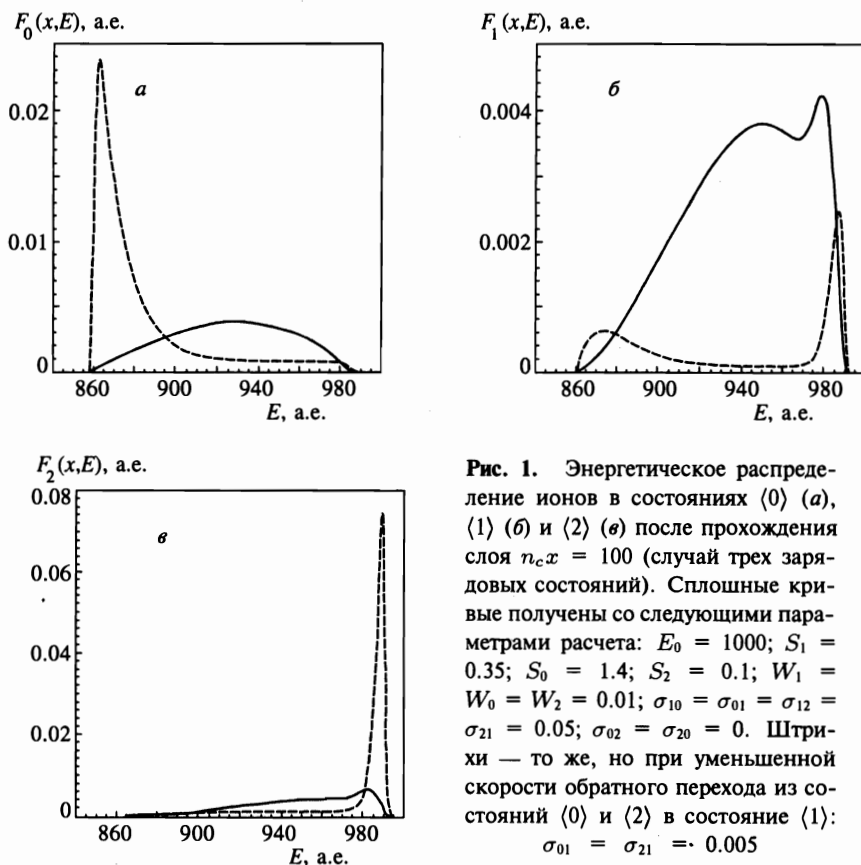


Рис. 1. Энергетическое распределение ионов в состояниях (0) (а), (1) (б) и (2) (в) после прохождения слоя $n_c x = 100$ (случай трех зарядовых состояний). Сплошные кривые получены со следующими параметрами расчета: $E_0 = 1000$; $S_1 = 0.35$; $S_0 = 1.4$; $S_2 = 0.1$; $W_1 = W_0 = W_2 = 0.01$; $\sigma_{10} = \sigma_{01} = \sigma_{12} = \sigma_{21} = 0.05$; $\sigma_{02} = \sigma_{20} = 0$. Штрихи — то же, но при уменьшенной скорости обратного перехода из состояний (0) и (2) в состояние (1): $\sigma_{01} = \sigma_{21} = 0.005$

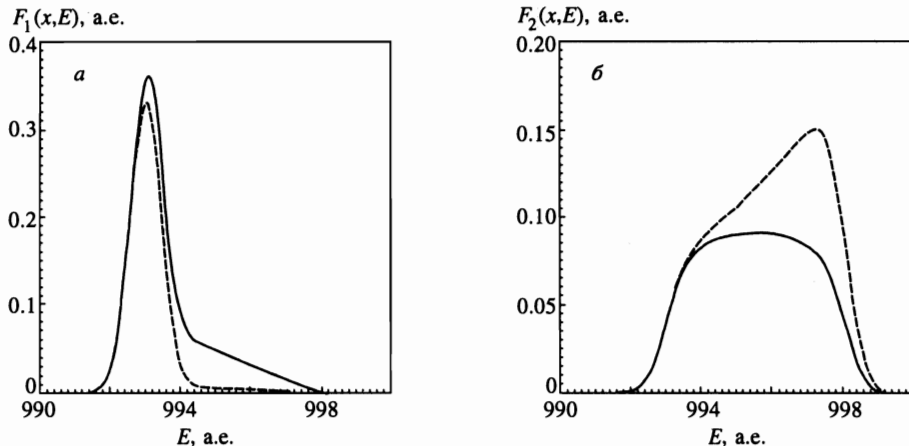


Рис. 2. Энергетическое распределение ионов в состояниях $\langle 1 \rangle$ (а) и $\langle 2 \rangle$ (б) после прохождения слоя $n_c x = 20$ (случай двух зарядовых состояний). Сплошные кривые: $E_0 = 1000$; $S_1 = 0.35$; $S_2 = 0.1$; $W_1 = W_2 = 0.01$; $\sigma_{12} = \sigma_{21} = 0.05$. Штрихи — то же, но при других параметрах скоростей перезарядки: $\sigma_{12} = 0.05$; $\sigma_{21} = 0.005$

уравнений (16)–(18). В задаче о двух зарядовых состояниях используется метод плотности распределения путей с поправкой на стретглинг (формула (20)). Его результаты эквивалентны тем, что следуют из уравнений (16)–(18), но их получение не требует громоздких численных вычислений и больших затрат компьютерного времени.

Необходимость выйти за рамки рассмотренного ранее другими авторами случая двух состояний диктуется прежде всего интересом к такой ситуации, когда ионы проходящего через вещество пучка способны испытывать перезарядку в двух направлениях — с уменьшением своего заряда, через подхват электрона среды, и с его увеличением, через процесс потери электрона (обдирки).

На рис. 1 приведены полученные впервые результаты расчетов энергетических распределений многозарядных ионов, когда учитываются три зарядовых состояния. Закрепив за начальным состоянием ионного пучка символ $\langle 1 \rangle$, мы обозначили два других зарядовых состояния символами $\langle 0 \rangle$ и $\langle 2 \rangle$. Полагая, что первое из них достигается из начального состояния $\langle 1 \rangle$ через процесс обдирки, а второе — через подхват электрона, мы выбрали параметры эффективного торможения в каждом из этих состояний в соответствии с требованием

$$S_0 > S_1 > S_2. \tag{24}$$

Для сравнения на рис. 2 и 3 приведены результаты расчетов, в которых учтена перезарядка только в переходах $\langle 1 \rangle \rightarrow \langle 2 \rangle$ и $\langle 2 \rangle \rightarrow \langle 1 \rangle$. Прежде всего заметим, что во всех этих случаях, ввиду того что эффективное торможение в исходном состоянии $\langle 1 \rangle$ взято более сильным, чем в состоянии $\langle 2 \rangle$, спектр ионов в состоянии $\langle 2 \rangle$ несколько смещен в сторону больших энергий по сравнению со спектром в состоянии $\langle 1 \rangle$. Сопоставление друг с другом сплошных и штриховых кривых на рис. 2 и 3 показывает, как влияет соотношение между скоростью перезарядки из начального состояния $\langle 1 \rangle$ в состояние $\langle 2 \rangle$ и скоростью перезарядки в обратную сторону на форму спектров ионов в каждом из этих состояний.

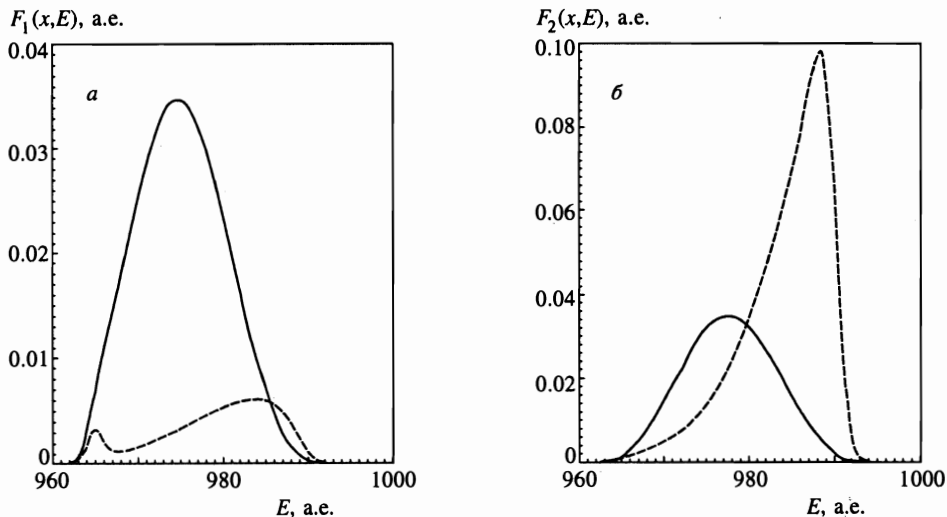


Рис. 3. Энергетическое распределение ионов после прохождения слоя $n_c x = 100$ (случай двух зарядовых состояний). Параметры расчета, как в случае рис. 2

Сплошные кривые на рис. 2 соответствуют случаю, когда сечения переходов σ_{12} и σ_{21} выбраны равными. Изменение соотношения между ними в пользу прямой перезарядки $\langle 1 \rangle \rightarrow \langle 2 \rangle$ (штрихи) приводит к тому, что обратный переход частиц из состояния $\langle 2 \rangle$ в исходное состояние затрудняется, в результате чего интенсивность фракции $\langle 1 \rangle$ падает, а вместе с тем в спектре ионов в состоянии $\langle 2 \rangle$ усиливается вклад более высоких энергий (в обратную сторону действует изменение соотношения между сечениями в пользу перехода $\langle 2 \rangle \rightarrow \langle 1 \rangle$). По-видимому, изучение характера асимметрии формы максимума в энергетическом распределении $F_2(E)$ может давать полезную информацию о соотношении скоростей прямой и обратной перезарядок в процессе торможения.

С увеличением пройденного пути (рис. 3) разброс энергии частиц в обоих состояниях увеличивается, что происходит, главным образом, благодаря эффекту перезарядки; ионизационный стрегглинг играет при этом все менее существенную роль. При малой скорости обратного перехода $\langle 2 \rangle \rightarrow \langle 1 \rangle$ и большой — прямого перехода ($\sigma_{12} n_c x > 1$, $\sigma_{21} n_c x < 1$) (штрихи) поток частиц в состоянии $\langle 1 \rangle$ очень слаб и состоит в основном из ионов, испытавших двойную перезарядку $\langle 1 \rangle \rightarrow \langle 2 \rangle \rightarrow \langle 1 \rangle$; о доли ионов, прошедших в этом случае весь путь x без изменения своего начального зарядового состояния, говорит лишь небольшой узкий пик в спектре ионов на левом склоне его основного максимума. Как было показано впервые Нейрманом [3], двугорбая картина энергетического распределения многозарядных ионов при прохождении через вещество является характерным признаком эффекта перезарядки.

Характер энергетического распределения ионов, рассчитанного с учетом перезарядки как в сторону уменьшения, так и в сторону увеличения заряда, оказывается гораздо более сложным, чем в задаче о двух зарядовых состояниях. Интервал энергетических потерь оказывается более широким, форма спектра — более замысловатой и очень чувствительной к соотношению скоростей переходов между различными зарядовыми состояниями иона в процессе торможения. Сравним данные, показанные сплошными кривыми на рис. 1 и 3. Соответствующие им условия прохождения ионов различа-

ются тем, включены или нет в рассмотрение переходы из начального состояния $\langle 1 \rangle$ в состояние $\langle 0 \rangle$ и обратно, причем для состояния $\langle 0 \rangle$ характерно очень сильное торможение. Естественно, их включение приводит к большому уширению спектров на рис. 1 по сравнению с рис. 3 во всех зарядовых фракциях. Вместе с тем в правой части спектров фракций $\langle 1 \rangle$ и $\langle 2 \rangle$ на рис. 1 сохраняется острый максимум, родственный основному максимуму на рис. 3. Интересно, что, будучи связанным с торможением иона в состоянии $\langle 1 \rangle$, этот дополнительный максимум оказывается столь же заметным в спектре фракции $\langle 2 \rangle$, как и в спектре фракции $\langle 1 \rangle$.

Результаты, показанные на рис. 1 штрихами, интересны с другой стороны. При малой скорости обратного перехода из состояний $\langle 0 \rangle$ и $\langle 2 \rangle$ в исходное зарядовое состояние $\langle 1 \rangle$ в спектре фракции $\langle 1 \rangle$ наблюдается особенно четкая двугорбая структура с далеко разнесенными максимумами, соответствующими торможению в состояниях $\langle 1 \rangle$ и $\langle 0 \rangle$. Отметим также эффект широкого плато в правой части спектра фракции $\langle 0 \rangle$.

6. СРАВНЕНИЕ С ЭКСПЕРИМЕНТОМ

Недавно Огава и др. [6] провели эксперименты, в которых исследовались энергетические распределения ионов лития с энергией порядка 10 МэВ/нуклон после прохождения углеродной мишени. Установленная в них общая картина изменения формы этих распределений с увеличением пройденного ионом пути полностью соответствует представлениям, которые были изложены выше. В частности, отчетливо просматривается переход от одnogорбой картины в случае очень тонкой мишени сначала к распределению с двумя горбами, а затем снова к одnogорбому (но уже значительно более широкому) распределению, что характерно для процесса торможения в условиях

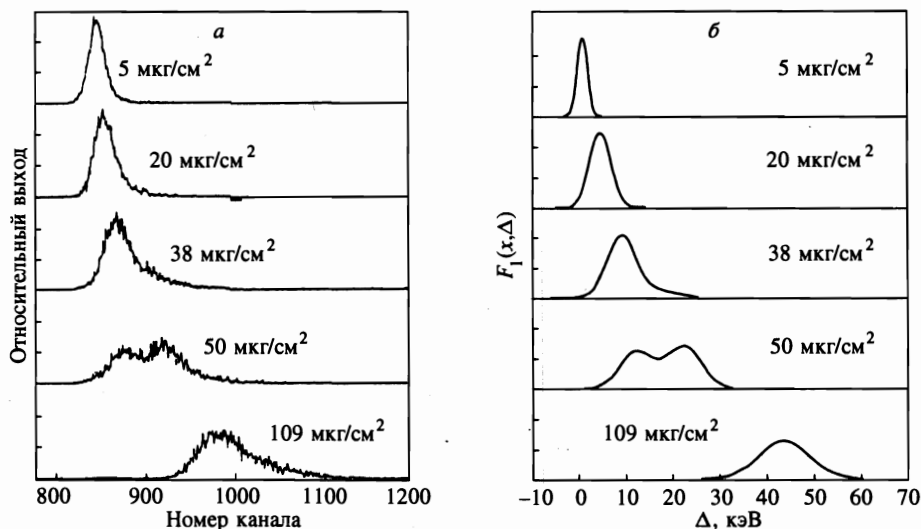


Рис. 4. Энергетические распределения ионов Li^{2+} с начальной энергией $E_0 = 63.4$ МэВ после прохождения тонких углеродных пленок разной толщины; *a* — экспериментальные данные Огава и др. [6] (по оси абсцисс отложен номер канала), *б* — наш расчет (по оси абсцисс отложена потерянная энергия в кэВ)

большого вклада перезарядки. Проследивая за ослаблением фракции ионов, прошедших весь путь без перезарядки, авторы работы [6] находят парциальные (относящиеся к отдельным зарядовым фракциям) характеристики эффективного торможения ионов в веществе. Однако вопрос о теоретическом описании всей формы полученных распределений, а следовательно, и о методе выделения вклада фракции ионов, прошедших весь путь без перезарядки, остается в работе открытым.

Пользуясь методом, изложенным выше, мы провели соответствующие расчеты. Их результаты для ионов Li^{2+} вместе с экспериментальными результатами работы Огава и др. [6] представлены на рис. 4. Параметры, относящиеся к торможению ионов и к их перезарядке, взяты близкими к оценкам работы [6]: $S(\text{Li}^{2+}) = 250 \text{ эВ} \cdot (\text{мкг}/\text{см}^2)^{-1}$, $S(\text{Li}^{3+}) = 360 \text{ эВ} \cdot (\text{мкг}/\text{см}^2)^{-1}$, $\sigma(\text{Li}^{2+} \rightarrow \text{Li}^{3+}) = 4 \cdot 10^{-18} \text{ см}^2$, $\sigma(\text{Li}^{3+} \rightarrow \text{Li}^{2+}) = 2 \cdot 10^{-22} \text{ см}^2$. Потеря энергии непосредственно в самом акте перезарядки в расчете на один цикл переходов ($\text{Li}^{2+} \rightarrow \text{Li}^{3+} \rightarrow \text{Li}^{2+}$) оценена, согласно [7], в 5.6 кэВ. Полное сравнение теории с экспериментом затрудняется двумя обстоятельствами. Энергетические распределения ионов, полученные Огава и др., представлены в работе [6] в условной шкале энергий. Кроме того, мы не знаем начального энергетического разброса пучка ионов в эксперименте [6]. Таким образом, параметр стретглинга $W_1 = W_2 = W$, введенный в расчет в качестве подгоночного параметра, учитывает по существу и собственно стретглинг, и начальный энергетический разброс пучка. Отметим, что его значение $W = 2.5 \cdot 10^5 \text{ эВ}^2 \cdot (\text{мкг}/\text{см}^2)^{-1}$, полученное из подгонки, не доходит до боровского предела, который достигается при асимптотически больших скоростях иона.

Близкое совпадение друг с другом, в основных чертах, теоретических и экспериментальных результатов, на наш взгляд, несомненно.

7. ЗАКЛЮЧЕНИЕ

Процессы взаимодействия быстрых многозарядных ионов с веществом вызывают все возрастающий интерес в самых разных разделах современной физики (см., например, [8–11]) — в физике твердого тела, в атомной и ядерной физике, физике космических лучей и астрофизике, в биофизике. Появление экспериментальных работ, непосредственно направленных на выяснение роли перезарядки в формировании энергетических распределений ионов в этих процессах, а также открывающиеся возможности их адекватного теоретического анализа создают благоприятные предпосылки для целенаправленных дальнейших исследований в этой области.

Положенный в основу данной работы метод связанных интегральных уравнений дает надежный способ исследования кинетики прохождения быстрых многозарядных ионов через вещество с учетом перезарядки. С его помощью становится возможным исследование формы энергетических распределений ионов в различных зарядовых фракциях в зависимости от пройденного пути и от соотношений скоростей переходов между разными зарядовыми состояниями иона без ограничений на число его зарядовых состояний. Одновременно в частном случае двух зарядовых состояний найдено решение задачи об энергетических спектрах ионов в виде компактных аналитических выражений.

Литература

1. P. Sigmund, Nucl. Instr. Meth. B **69**, 113 (1992).
2. A. Nürmann and P. Sigmund, Phys. Rev. A **49**, 4709 (1994).
3. A. Nürmann, Phys. Rev. A **51**, 548 (1995).
4. L. Landau, J. of Phys. (USSR) **8**, 201 (1944).
5. И. С. Градштейн, И. М. Рыжик, *Таблицы интегралов, сумм, рядов и произведений*, ФМЛ, Москва (1962).
6. H. Ogawa, I. Katayama, I. Sugai et al., Nucl. Instr. Meth. B **115**, 66 (1996).
7. H. Ogawa, I. Katayama, H. Ikegami et al., Phys. Lett. A **160**, 77 (1991).
8. F. Nürmann, W. Heiland, R. Manreal et al., Phys. Rev. B **44**, 2003 (1991).
9. H. Bichsel, Rev. Mod. Phys. **60**, 663 (1988).
10. H. Paul and M. J. Berger, in: *Atomic and Molecular Data Needed in Radiotherapy*, IAEA-TECDOC; Vienna (1993), Ch. 7.
11. P. Stavrev, N. Gavrilova-Stavreva, S. Petrov, J. Phys. G **18**, 1833 (1992).